

[9] Desurvire E., Paruchon M.,
Pocholle J.P., Raffy J. // Electron.
Lett. 1983. V. 19. P. 751-753.

Физико-технический
институт им. А.Ф. Иоффе
АН СССР,
Ленинград

Поступило в Редакцию
20 октября 1988 г.

Письма в ЖТФ, том 15, вып. 3

12 февраля 1989 г.

04; 11; 07

О ПОРОГАХ ПЛАЗМООБРАЗОВАНИЯ
НА ПОВЕРХНОСТИ МЕТАЛЛОВ ПОД ДЕЙСТВИЕМ
УЛЬТРАФИОЛЕТОВОГО ЛАЗЕРНОГО ИЗЛУЧЕНИЯ

Д.В. Гайдаренко, А.Г. Леонов,
И.В. Новобранцев

Одной из важнейших характеристик процесса взаимодействия лазерного излучения с поверхностями твердых тел является величина интенсивности излучения (I_n) или плотность его энергии (E_n), под действием которых на поверхности возникает плазма (порог плазмообразования). Зависимости этих величин от различных параметров достаточно полно исследовались в инфракрасном и оптическом диапазонах длин волн, однако только весьма ограниченное число работ (см., например, [1-5]) посвящено таким исследованиям в УФ области. При этом величины порога, приведенные в разных работах и измеренные разными методами на отдельных металлах, имеют значительный разброс. Целью данной работы были систематические измерения характеристик лазерного факела на поверхности различных металлов с целью определения начала плазмообразования и нахождения пороговой интенсивности в ультрафиолетовой части спектра.

Экспериментальная установка состояла из электроразрядного $XeCl$ лазера ($\lambda = 308$ нм, энергия импульса до 0.5 Дж, длительность импульса — 20 нс на полувысоте) и камеры взаимодействия, откачиваемой до давления не хуже 10^{-5} мм рт.ст., в которую помещался исследуемый полированный образец, изготовленный из металла марки "Ч". Лазерное излучение фокусировалось на образец линзой с фокусным расстоянием 250 мм в пятно размером 0.60×2.5 мм². Система диагностики позволяла регистрировать свечение лазерной плазмы в отдельных спектральных линиях и состояла из системы объективов, проецировавших изображение лазерного факела с трехкратным увеличением на входную щель спектральной приставки СП-78, работавшей в режиме монохроматора с

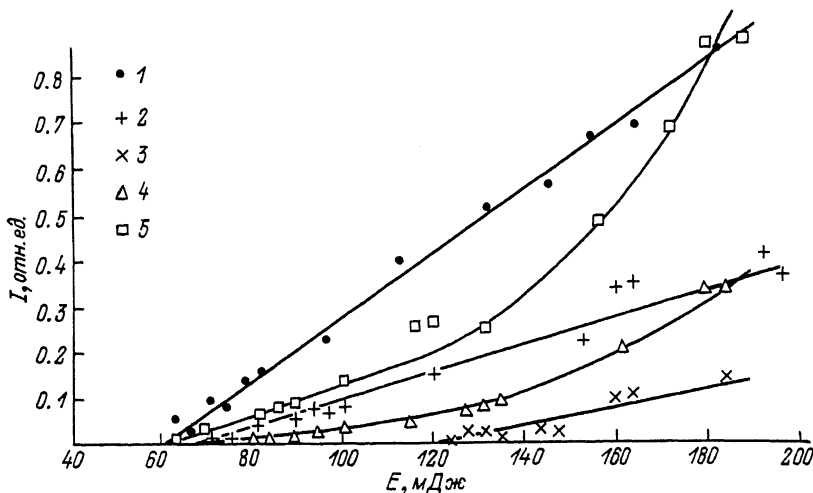


Рис. 1. Зависимость интенсивности свечения паров алюминия в разных спектральных диапазонах от энергии лазерного импульса: 1 - Al II , 624.3 нм; 2 - Al II , 559.3 нм; 3 - Al III , 569.6 нм; 4 - континуум, 564 нм; 5 - континуум, 609 нм.

линейной дисперсией в плоскости выходной щели 50 \AA/m . За выходной щелью помещался приемник излучения - ФЭУ-84, сигнал с которого регистрировался осциллографом С8-14. Входная щель СП-78 ориентировалась вдоль оси факела. Прилегающая к мишени область размером 0.2 мм прикрывалась диафрагмой для предотвращения попадания в систему регистрации свечения собственно самой мишени, которое может быть значительным в допороговой области (см., например, [6]) и искажать результаты измерений. Помимо спектральных характеристик нами регистрировалось также появление заряженных частиц с помощью зонда площадью 20 см^2 и удаленного от мишени на расстояние 8.25 см. Перед зондом помещалась заземленная сетка, сигнал с зонда, находившегося под отрицательным потенциалом относительно сетки и работавшего в режиме насыщения, также регистрировался осциллографом С8-14.

Величина порога определялась ранее по возникновению вспышки на поверхности металла [1, 2, 4], по появлению особенности в форме отраженного от мишени лазерного импульса [1, 2], по возникновению свечения линии возбужденного нейтрального атома [3], появления сигналов на электрическом зонде [4], резкому снижению коэффициента отражения от поверхности мишени [5] и т.д. По-видимому, более прямым методом является определение порога плазмообразования оптическими методами по появлению свечения возбужденных ионов материала мишени и тормозного и фоторекомбинационного континуума в приповерхностной области, что и было сделано в данной работе.

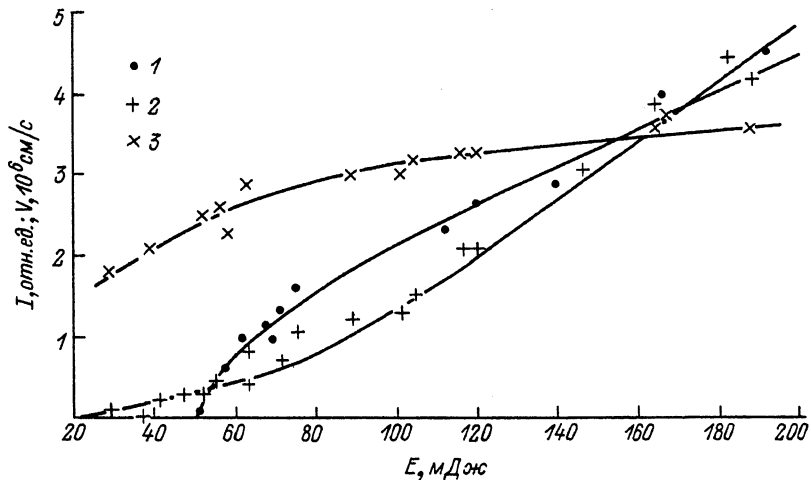


Рис. 2. Зависимость интенсивности свечения нейтрального алюминия (396.1 нм) (1), тока на коллектор (отн. ед.) (2) и максимальной скорости разлета плазмы от энергии лазерного импульса (3).

На рис. 1, 2 представлены зависимости амплитуды свечения лазерной плазмы у поверхности алюминия в различных спектральных диапазонах, амплитуда тока коллектора и максимальная скорость разлета плазмы, определенная с помощью зонда времяпролетным способом в зависимости от энергии падающего излучения E . Укажем основные особенности полученных результатов. Интенсивность свечения ионной компоненты и амплитуда сигнала коллектора растут линейно с ростом E . Интенсивность же свечения в континууме, как видно из рисунка, терпит изгиб примерно в той области, где возникает свечение Al III. Все зависимости носят резко выраженный пороговый характер, при этом в пределах ошибки амплитуды свечения разных линий Al II и континуума в разных участках спектра сходятся к одной точке. В окрестности этой же точки скорость нарастания тока зонда увеличивается, в то время как рост интенсивности свечения нейтрального алюминия замедляется, а скорость разлета плазмы насыщается. Аналогичные зависимости получены и при облучении ряда других металлов: Bi , Cd , Cu , Ti , W .

При увеличении в три раза площади пятна, что достигалось изменением расстояния между фокусирующей линзой и мишенью, пороговые интенсивности в пределах ошибки измерения не менялись. Это свидетельствует о вполне удовлетворительном качестве лазерного излучения. Более раннее начало возникновения свечения нейтральных атомов и появления заряженных частиц может быть объяснено тем, что уже в припороговой области энергий температура поверхности и плотность пара над ней настолько велики, как следует

из простых оценок (см., например, [7, 8]), что количество возбужденных атомов в потоке пара и поток термоионов с поверхности вполне достаточны для их уверенной регистрации. Отметим также, что для атомов *Al* и *Bi* существует возможность прямого возбуждения лазерным излучением из-за близости энергий лазерного кванта и энергии возбуждения ряда уровней.

Совокупность полученных данных свидетельствует о том, что в области возникновения свечения первых ионов и континуума начинается резкая ионизация пара облучаемого металла, и энергию, соответствующую данному порогу, можно принять за порог возникновения плазмы.

Усредненные данные по порогам для различных металлов, полученные экстраполяцией кривых методом наименьших квадратов и пересчитанные на интенсивность падающего излучения, приведены в таблице. Проведенный нами анализ показал, что полученные данные не поддаются систематизации по какому-либо параметру (теплопроводности, температуропроводности, энергии сублимации и ионизации и т.д.). Очевидно, это связано с тем, что процесс возникновения факела представляет собой весьма сложное явление и для каждого конкретного металла требует детальных численных расчетов. Отметим, что полученные нами значения достаточно хорошо согласуются с результатами работ [5] для *Al* - 200 МВт/см², но значительно превышают значение порога пробоя, определенного по свечению *Al* 1, полученное в [3] - 130 МВт/см².

Металл	<i>Al</i>	<i>Cd</i>	<i>Bi</i>	<i>Cu</i>	<i>Ti</i>	<i>W</i>
<i>I_{пор}</i> , МВт/см ²	220 ±25	180 ±10	110 ±15	390 ±40	170 ±20	390 ±30

Л и т е р а т у р а

- [1] Rosen D.I., Mitteldorf J., Kotthanadaraman G., Piriotti A.N., Pyghe E.R. // J. Appl. Phys. 1982. V. 53. P. 3190.
- [2] Rosen D.I., Hastings D.E., Weyl G.M. // J. Appl. Phys. 1982. V. 53. P. 5882.
- [3] Rothenberg J.E., Koren G. // Appl. Phys. Lett., 1984. V. 44. P. 664.
- [4] Агеев В.П., Горбунов А.А., Данилов В.П., Конов В.И., Никитин П.И., Прохоров А.М. // Квантовая электроника. 1983. Т. 10. С. 2451.
- [5] Агеев В.П., Горбунов А.А., Конов В.И. Тезисы XII конференции взаимодействия оптического излучения с веществом. Л., 1988.
- [6] Беньков А.В., Луговской В.Б. // Письма в ЖТФ. 1981. Т. 7. С. 709.

- [7] А нисимов С.И., И мас Я.А., Р оманов Г.С.,
Х одыко Ю.В. Действие излучения большой мощности на
металлы. М.: Наука, 1970.
- [8] Р эди Дж. Действие мощного лазерного излучения. М.: Мир,
1974.

Московский физико-технический
институт

Поступило в Редакцию
2 декабря 1988 г.

Письма в ЖТФ, том 15, вып. 3

12 февраля 1989 г.

01; 06; 07

РЕЛАКСАЦИЯ ИЗЛУЧЕНИЯ И НЕРАВНОВЕСНОЙ
ЗАСЕЛЕННОСТИ В КВАНТОВО-РАЗМЕРНЫХ
ПОЛУПРОВОДНИКОВЫХ ЛАЗЕРАХ

Н.С. Аверкиев, А.Н. Именков,
А.М. Литвак, Ю.П. Яковлев

1. В настоящее время широкое развитие получают волоконно-оптические линии связи с использованием в качестве источников излучения полупроводниковых гетеролазеров. Предельная скорость передачи информации в таких линиях зависит от быстродействия приемника, дисперсии сигнала и быстродействия источника. В настоящей работе будут проанализированы сравнительные характеристики быстродействия при включении и выключении обычных, инжекционных и квантово-размерных лазеров на гетеропереходе II-го рода ($GaSb/GaAlSbAs$) [1]. Излучение в таких квантово-размерных лазерах генерируется за счет накопления основных носителей заряда в самосогласованных потенциальных ямах по обе стороны гетероперехода II-го рода, возникающих при приложении напряжения большего контактной разности потенциалов.

Особенность этих лазеров состоит в малом времени заполнения этих потенциальных ям носителями. Характерным временем установления квази-равновесного распределения носителей в активной области (квантовых ямах) является Максвелловское время релаксации ($\tau_m = \epsilon / 4\pi G$). По порядку величины это время составляет 10^{-13} - 10^{-14} с. В наиболее высокоомных слоях τ_m достигает 10^{-11} с. В обычных инжекционных лазерах время установления квази-равновесного распределения носителей в активной области определяется временем жизни неосновных носителей заряда, которое составляет 10^{-8} - 10^{-9} с. Представляет интерес исследование влияния времени установления квази-равновесного распределения носителей в активной области на быстродействие лазеров.

2. Для определения кинетики установления квазиравновесного распределения носителей и когерентного излучения при включении